

GeV 陽子入射による核破碎 — JAM と Percolation 模型を用いた分析 —

平田 雄一^a, 大西 明^a, 大塚 直彦^a,
高田 弘^b, 千葉 敏^b, 奈良 寧^c, 仁井田 浩二^d
北大理^a、JAERI^b、BNL^c、RIST^d

1. Introduction

- * GeV 陽子入射反応の重要性
- * 物理としての問題: 破碎機構は分かっているか?
 - 奇妙な角分布

2. Jet implemented Hadron-String Cascade (JAM)

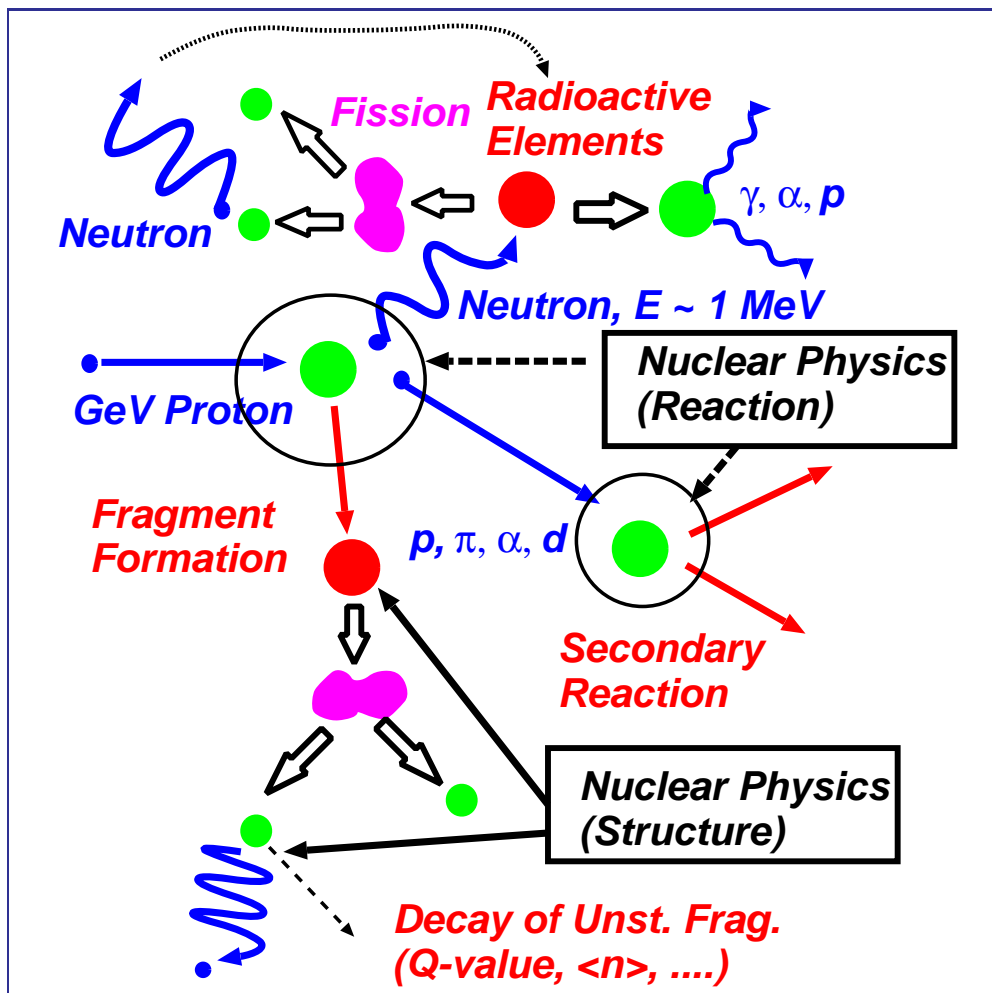
- * GSI-AGS-JHF-SPS-RHIC エネルギーでのハドロンスペクトル

3. Fragment 生成の記述 — Percolation —

- * GeV 陽子入射反応でのフラグメント質量数分布
- * 角分布

4. Summary

* 加速器駆動型未臨界炉：原子核物理学の役割



- * 初期核反応 = GeV 陽子による核反応:
→ 原子核物理学、(荷電粒子)核データ
… $p, n, \alpha, \gamma, \pi, d, \text{IMF}$, 中重核 … の生成
- * 中性子と熱の輸送: 物性物理学、原子力工学、中性子核データ
- * 高エネルギー 2 次粒子による反応:
→ 原子核物理学、(荷電粒子 + 中性子) 核データ



「核反応のシミュレーション+統計模型」
… 2重微分断面積、フラグメントの生成断面積

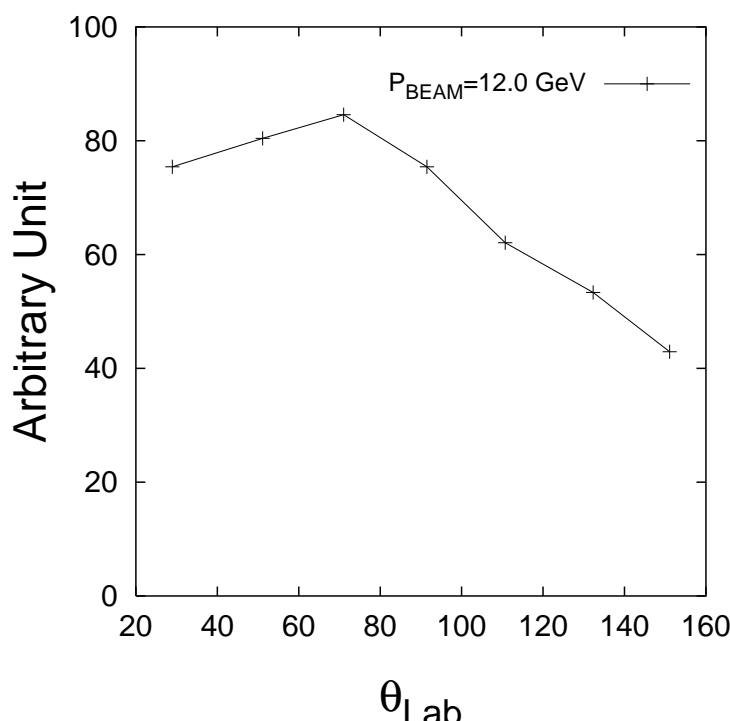
* GeV 陽子入射での核破碎: 物理として残っている問題

- IMF 質量数分布

* V-shape: 励起残留核の従来の統計的崩壊では理解できない。

- IMF 角分布: 側方 70° ピーク

p(12GeV)+Au: K.H.Tanaka et al., NPA503(95)581c



- * 励起残留核の従来の統計的崩壊では理解できない。
- * 微視的な説明例なし。

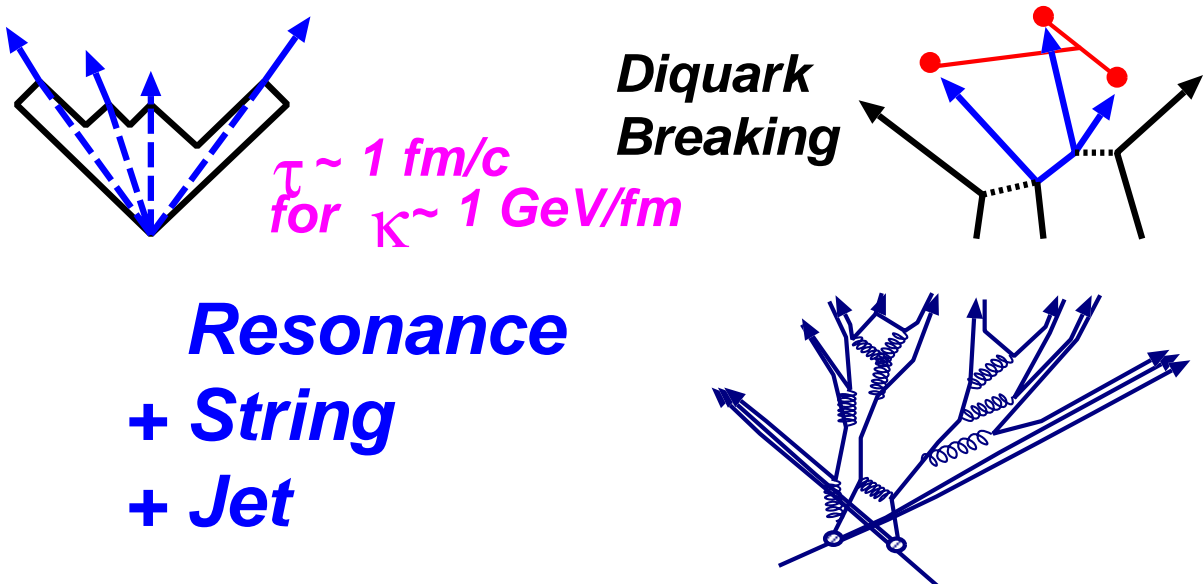
Why ?

- * GeV 領域の高精度な衝突断面積必要
- * フラグメンテーションの記述必要

JAM (Jet Aa Microscopic transport model)

Y. Nara et al., PRC61('00), 024901.

- * DOF: $h(B, B^*, M, M^* \text{ (} m \leq 2 \text{ GeV) }) + s(\text{Strings})$
+ Partons (at higher energies)
- * σ : Hadronic ($hh \leftrightarrow hh, hh \leftrightarrow h$)
+ Soft ($hh \leftrightarrow s, hh \rightarrow hs, hh \rightarrow ss, s \rightarrow hhh\dots$ [1]
 $ch \leftrightarrow ch, ch \rightarrow cs (c = (\bar{q}q), q, \bar{q})$ [2])



+ Hard (Jet Production, at higher energies) [3]

- * No Mean Field (in progress), No Medium Modification

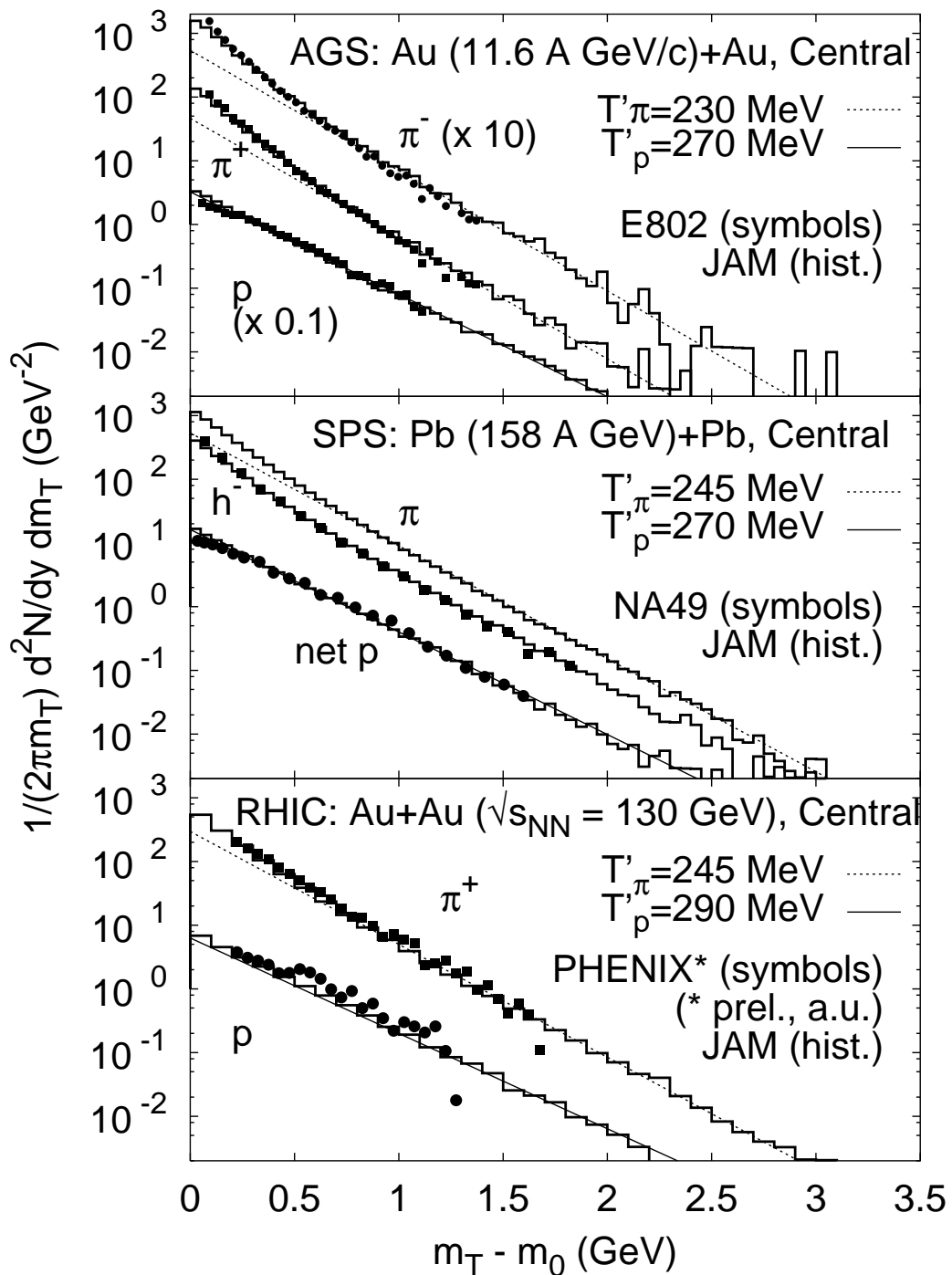
[1] "DPM + Lund" (\sim HIJING) + Phase Space

[2] Constituent Rescattering (\sim RQMD), $c = (\bar{q}q), q, \bar{q}$

[3] Jetset (Pythia)

Version: JAM1.009.27 (April 2000 Version)

★ M_t Spectra: Measure of Generated Pressure



Nicely Reproduced, except for
Low Energy Protons (No Mean Field)

* GeV 陽子によるフラグメント(原子核)生成

• フラグメント生成機構

低励起状態: n, γ, p, α の蒸発 + 核分裂 (統計崩壊模型)

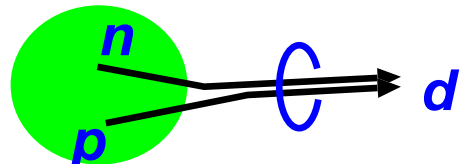
→ 高励起状態: 核破碎反応

→ 高エネルギー軽イオン: Coalescence

… 位相空間で近い核子(・フラグメント)の量子力学的融合

• Coalescence 模型

$$\frac{d^3 N}{dp_d^3} = \int d\Gamma_p d\Gamma_n \rho_{pn}^{Wig} P_d$$



$$\rho_{pn}^{Wig} = \sum_{i=pn \text{ pair}} \prod_{\alpha=p,n} (2\pi\hbar)^3 \delta(\vec{x}^\alpha - \vec{x}_i^\alpha) \delta(\vec{p}^\alpha - \vec{p}_i^\alpha)$$

$$\begin{aligned} P_d &= \frac{3}{4} (\text{スピン}) \times \frac{1}{2} (\text{アイソスピン}) \\ &\times \left| \sqrt{2} \cos \vec{q} \cdot \vec{r} \right|^2 (\text{パリティ}) \\ &\times \delta(\vec{p}_p + \vec{p}_n - \vec{p}_d) \rho_d^{Wig}(\vec{r}, \vec{q}) \end{aligned}$$

$$\begin{aligned} \rho_d^{Wig}(\vec{r}, \vec{q}) &= \text{Wigner Transf. of deuteron W.F.} \\ &\simeq 8 \exp(-r^2/d^2 - d^2 q^2) \end{aligned}$$

ρ_{pn}^{Wig} : 陽子と中性子の 2 体密度
 (\leftarrow シミュレーション計算)

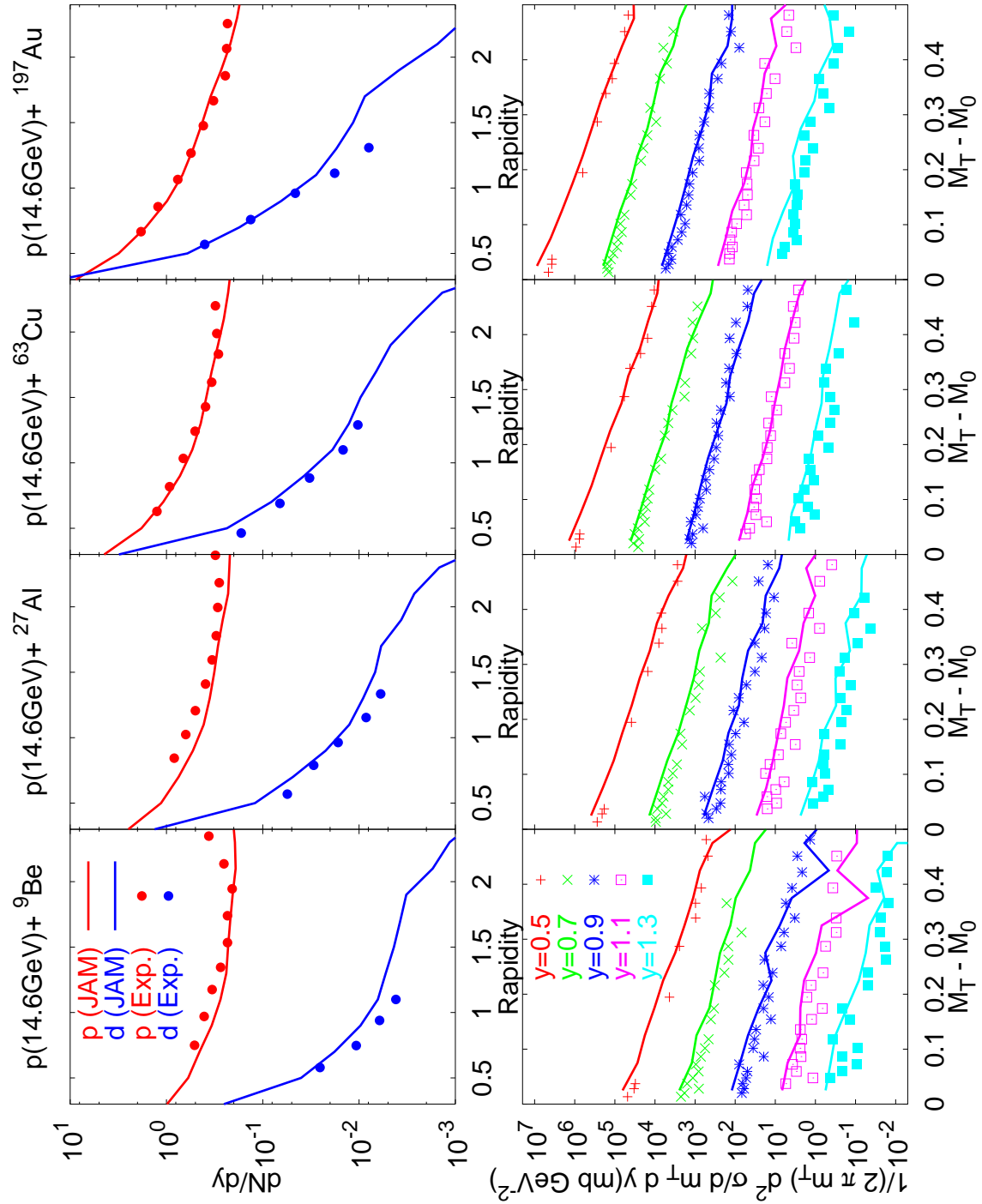
P_d : 陽子と中性子が重陽子を作る確率



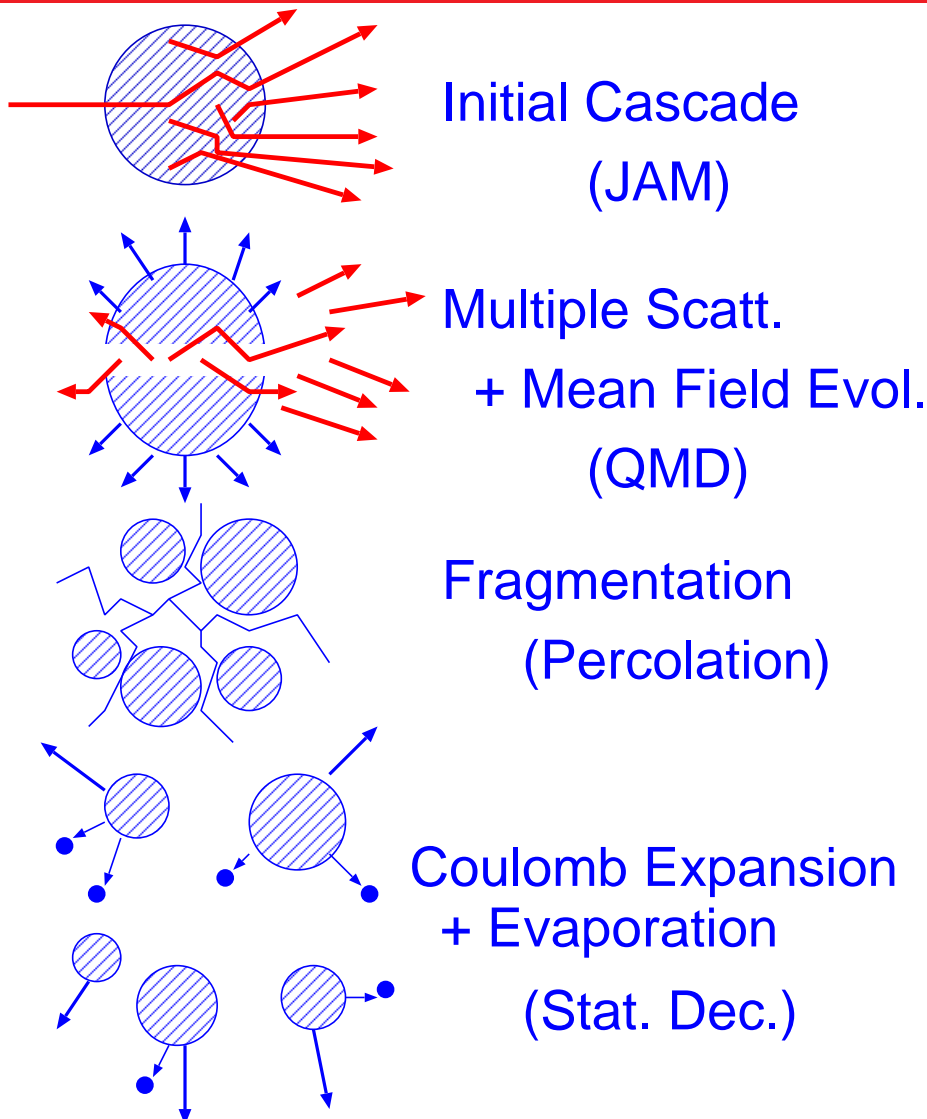
重陽子のサイズを決めれば d が与えられる
 → No Free Param.

Coalescence 模型での重陽子生成

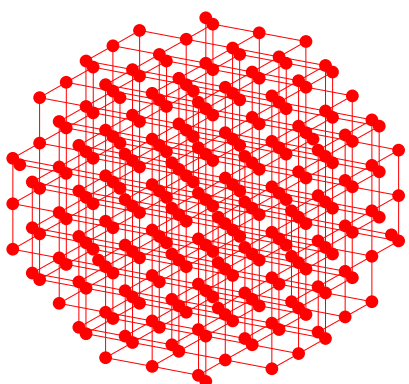
(Nagle et al., PRC53('96)367; Hirata, Thesis, in preparation.)



* GeV 陽子による破碎の描像: どこが問題か?



- Percolation 模型 (Bauer et al., PLB150(85)53.)



- * Put Nucleons on Site
- * Give Bond Cut Prob.
- * Connected → Frag.



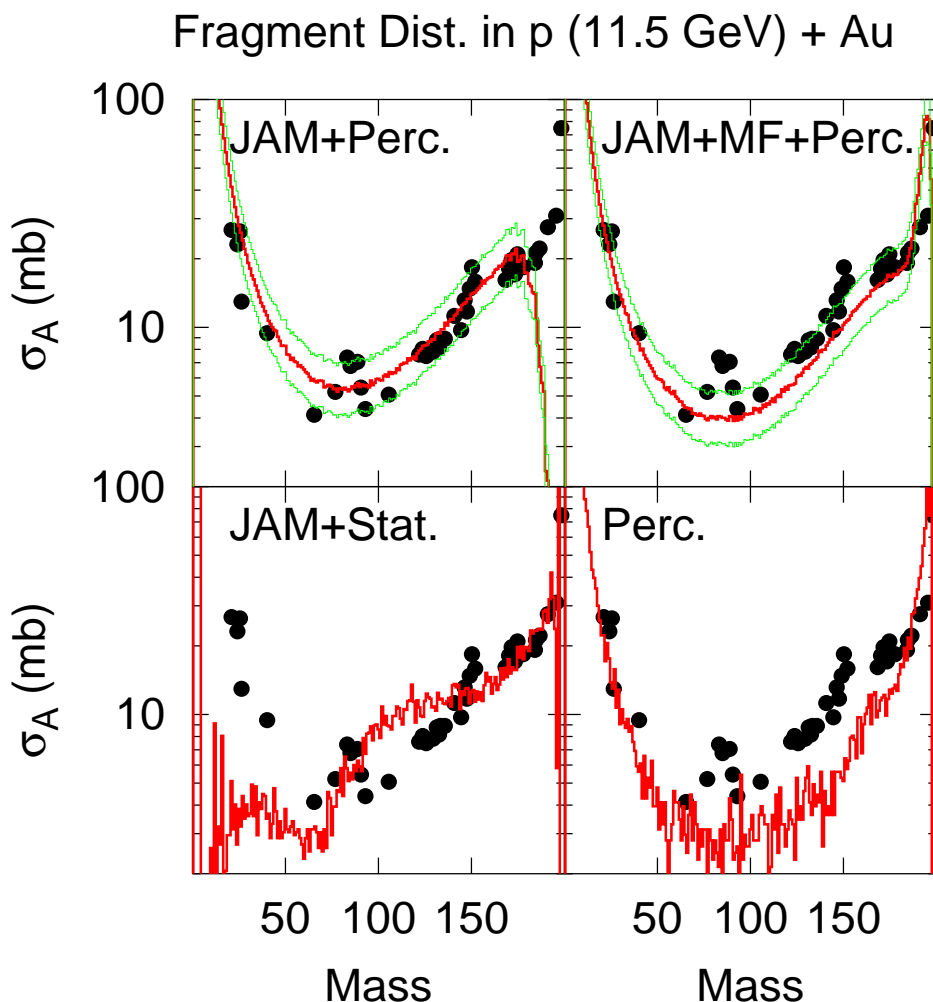
Good Crit. Behavior, IMF Formation

★ JAM-QMD + Percolation: — 動力学を反映した多重破碎模型

1. JAM + QMD: Cascade 過程と平均場による発展
2. ある時刻で運動量・位置に依存した確率で Percolation
3. Coulomb Expansion

p (11.5 GeV) + ^{197}Au でのフラグメント質量分布

(Hirata, Thesis, in preparation.)



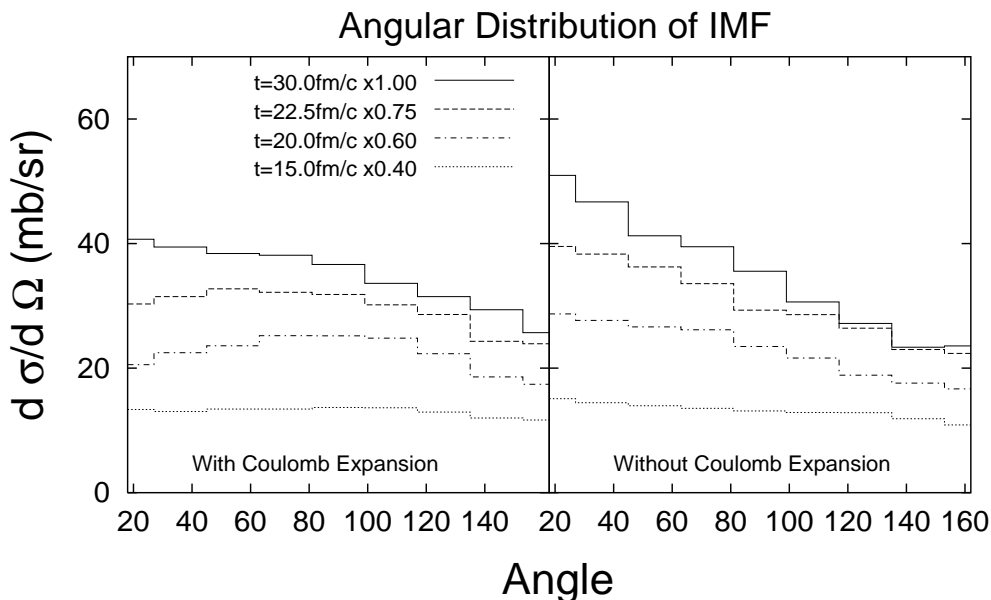
励起残留核の Binary 統計崩壊では不十分

… $A(\text{IMF}) \ll A(\text{Target})/2$

→ Percolation、動的揺らぎ、統計的多重破碎などの
「破碎促進過程」が必要

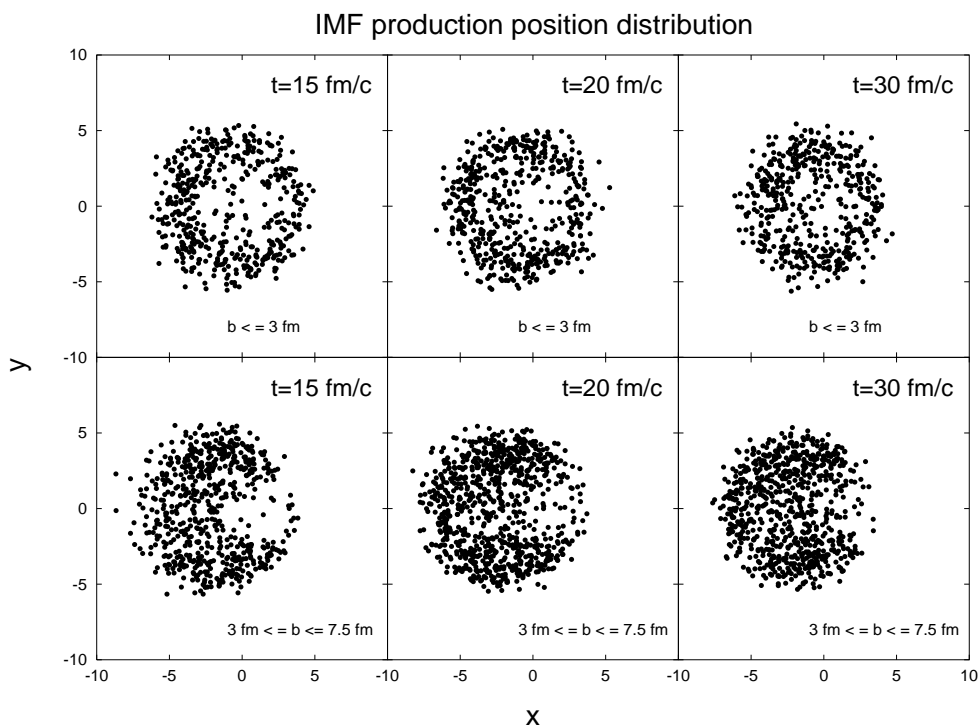
* IMF の角分布

- p (11.5 GeV) + ^{197}Au でのフラグメント角分布



早い時刻では側方ピーク。Why ?

- IMF 生成点分布の時刻依存性



冷えた部分のドーナツ形状からのクーロン膨張 → 側方ピーク

* まとめ

- * GeV 陽子からの核破碎
 - … 工学的に必要、物理としてもまだ問題あり。
- * カスケード過程
 - … JAM は RHIC エネルギーまで大体 OK
(Fixed target に換算して 20 A TeV 程度まで → 宇宙線も大体 OK)
- * フラグメント生成の標準模型: QMD + 統計崩壊(蒸発+Fission)
 - … 数 GeV を越える陽子入射反応では IMF 生成に問題あり
- * JAM-QMD + Percolation (動力学を反映した多重破碎模型)
 - … 質量数分布、角分布をほぼ (~ factor 程度で) 再現
- * To Do: JAM-QMD + Coalescence + Percolation + Evaporation
 - … 全ての時間スケールをカバーできると期待される。